

波流れ共存場における剪断力の測定

東北大学大学院 学生員○田中 仁
東北大学工学部 正員 首藤伸夫

1 まえがき

著者らは先に文献1)で、波流れ共存場における剪断力を、おのとの剪断力の重ね合わせにより、ある種度評価することを、底質移動限界に関する実験より導いた。今回も剪断力計を用いて実際に共存場の剪断力を測定し、文献1)における重ね合わせの妥当性について検討し、更に摩擦係数について、実験式を導いた。

2 実験装置 及び 実験方法

実験装置は文献1)と同様であるが、水路床は固定床とし、ベンキゴ砂粒子をはりつけた。水路中央に剪断力計を取り付け、出力はペン書きレクチグラフに描かせた。なお、用いた剪断力計の原理及び性能については文献2)を参照されたい。

3 実験結果

波運動運動のモードでは shear plate によって剪断力の他に圧力勾配による力が存在する。そこで shear plate の上に更にプレートをかけて圧力勾配による力を測定し、プレートがない場合の力との差をもって、真の剪断力をとした。図1は実測値と計算値を比較したものである。ただし 計算値は(1)式の様に波と流水を剪断力で重ね合わせて求めた。

$$\tau_{\text{calc}} = \tau_{cu} + \tau_w \quad (1)$$

ここに $\tau_{cu} = \frac{1}{2} \rho f_{cu} u_{cu}^2 \quad (2)$

$$f_{cu} = \frac{2g n^2}{R^{1/3}}, \quad n = 0.0417 d^{1/6}$$

$$\tau_w = \frac{1}{2} \rho f_w u_w^2$$

$$\frac{1}{4\sqrt{f_w}} + \log \frac{1}{4\sqrt{f_w}} = -0.08 + \log \frac{a_{im}}{R_2} \quad (3)$$

$$f_w = \frac{\pi^2 H}{L} \left(\frac{L}{T} + u_{cu} \right) \quad \frac{\sinh 2\pi H}{L}$$

図1より(1)式を用いると、剪断力を実験より幾分、小さめに評価してしまうことがわかる。また、この他の摩擦速度あるいは摩擦係数による重ね合わせにより計算値を求める試みを試みた。即ち、

$$\tau = \rho u_*^2, \quad u_* = u_{cu} + u_{cw} = \sqrt{\frac{\tau_{cu}}{\rho}} + \sqrt{\frac{\tau_{cw}}{\rho}} \quad (4)$$

$$\tau = \frac{\rho f u^2}{2}, \quad f = \frac{f_{cu} u_{cu} + f_w u_w}{u_{cu} + u_w}, \quad u = u_{cu} + u_w \quad (5)$$

(4)式、(5)式を用いると、計算値が実測値をかなり上まわる。こゝ事は(4)式(5)式の形から明白である。結局、重ね合わせにより共存場の剪断力を求めるなら、(4)式

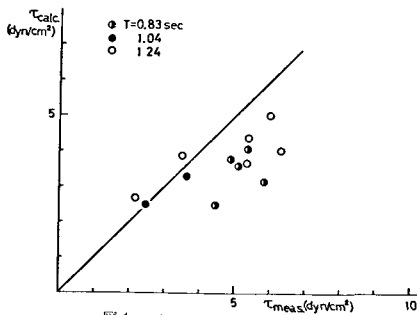


図1 実測値と計算値の比較

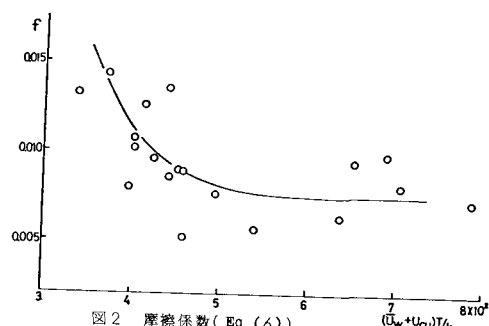


図2 摩擦係数(Eq.(6))

によるのが最も妥当である。

次に、新たに(6)式で摩擦係数を定義する。

$$f = \frac{2\tau}{\rho(u_{cu} + \bar{u}_w)^2} \quad (6)$$

ここで \bar{u}_w : 波による流速の振幅の断面平均 ($= L H (1/\tau + u_{cu}/L) / 2\pi f$)

結果は、図3である。ただし 横軸のパラメータとしては、(3)式で $Q_{im}/f_c = u_w T / \rho \pi f$ であるから、 $(u_{cu} + \bar{u}_w) T / f$ を用いた。図3中に実験式を描けば、文献11)のデータを用いて 移動限界の剪断力を求めることができる。実際に計算してみると、かなりばらつき、従って(6)式で摩擦係数を定義することは不適当であると思われる。根本ら³⁾は流れと波により合成された水粒子速度 \bar{u} に対して 底部剪断力を $\tau = \rho f_1 \bar{u}^{1/2} / \tau$ と定義した時 剪断力の作用方向の考察から $\bar{u} = \bar{u}_w + 0.5 u_{cu}$ となることを指摘している。すなわち、新しい境界層の外縁流速に対しては、波動による水粒子速度に対して流れは1/2の寄与率しか示さない。こり = こりを(3)式で更に次式で其存場の摩擦係数を定義してみる。

$$f = \frac{2\tau}{\rho(0.5u_{cu} + \bar{u}_w)^2} \quad (7)$$

結果は 図3であり 実験式として次式を得る。

$$f = 0.884 \{ (0.5u_{cu} + \bar{u}_w) T / f \}^{-0.623} \quad (8)$$

あるいは (3)式の形に合わせて

$$\frac{1}{644\sqrt{f}} + \log \frac{1}{4\sqrt{f}} = -1.26 + \log \frac{(0.5u_{cu} + \bar{u}_w) T}{f} \quad (9)$$

(8)式を用いて、文献11)における移動限界の剪断力を求めると 平均値 $\bar{u}_{cr} = 4.39 \text{ dy}/\text{cm}^2$ 、標準偏差 $\sigma = 0.664 \text{ dy}/\text{cm}^2$ となり、かなりばらつきが少なく 一定の剪断力に達した時に、底質が移動し始めることが示唆される。ちなみに K(11)式を用いた時は $\bar{u}_{cr} = 4.55 \text{ dy}/\text{cm}^2$ 、 $\sigma = 1.03 \text{ dy}/\text{cm}^2$ であり、また (6)式で定義した摩擦係数を用いると $\bar{u}_{cr} = 3.49 \text{ dy}/\text{cm}^2$ 、 $\sigma = 1.06 \text{ dy}/\text{cm}^2$ となり、標準偏差が

(9)式を用いた時に比べ約2倍に達している。次に (8)式を用いて、移動限界における実測値を Shields の图表の上にプロットしたのが図4である。ただし ●は平均値を表わし、↔は実測値のばらつきの範囲を表わしている。なお、実験では一種類の砂のみを用いており、実測値は 矢印上にのる。図より、波 流れ共存場においても Shields 图表により移動限界をある程度評価できる様である。以上より、(8)式、あるいは(9)式により共存場の剪断力を求められる。しかし、 $(0.5u_{cu} + \bar{u}_w) T / f$ が 500 以上、す以下においては (8)式と (9)式の差が大きくなり、いずれの式が妥当かは不明である。今後、この領域における測定を重ねる予定である。謝辞: この研究は大部省科研費(代表者: 東大、鶴川清司教授)によつた。

《参考文献》

- 1). 田中、首藤、青田; 第34回年講論文集(1979)
- 2). 勝井、花村、田村; 第34回年講論文集(1979)
- 3). 横木、出口、梅野; 第34回年講論文集(1979)

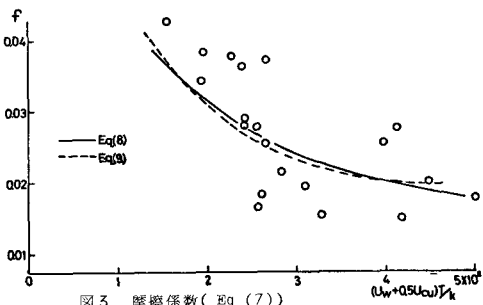


図3 摩擦係数(Eq.(7))

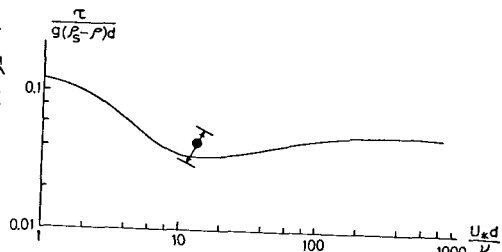


図4 Shields の移動限界曲線